



ORKUSTOFNUN

Þyngdarmælingar á Hellisheiði og Nesjavöllum í desember 1998

Hjálmar Eysteinsson

Greinargerð HE-98-04

Pyngdarmælingar á Hellisheiði og Nesjavöllum í desember 1998.

1. Inngangur

Í framhaldi af umbrotum á Hengilssvæðinu á undanförnum misserum, og auknu landrisi með miðju nærri Ölkelduhálsi (Gunnar Þorbergsson og Guðmundur H. Vigfússon 1998) var ákveðið, í samráði við Hitaveitu Reykjavíkur, að fylgjast reglulega með þyngd (þ.e. þyngdarhröðun jarðar) í sömu fastmekjum og ákveðið hafði verið að fylgjast með hæðarbreytingum með GPS tækni (Páll Bjarnason, 1998). Þessi fastmerki eru (sjá mynd 1): OS-7315 í Kýrdal, AU-216 við þjóðveg austan við Ölfusvatnsá, OS-HH19 norðan við Kolviðarhól, OS-HH04 á Hellisheiði, OS-7393 á Ölkelduhálsi, LM-0305 í Kambabréði, 2951S við Ölfusborgir, og Vr-171 við þjóðveg skammt frá Bjarnastöðum. Auk hugsanlegra breytinga í þyngdinni var mælingunum ætlað að meta nákvæmni nýja þyngdarmælis Orkustofnunar. Síðastliðið sumar var þyngdarmælt í sex þessara fastmerkja (Hjálmar Eysteinsson 1998), en í Vr-171 hefur einu sinni áður verið þyngdarmælt (1992), en aldrei áður hefur verið mælt í fastmerki 2951S.

Þar sem þyngdarsviðið er ekki mælt beint með þyngdarmæli Orkustofnunar heldur mældur þyngdarmunur milli punkta, þarf að tengja mælingarnar við mælipunkt með þekktu þyngdargildi. Eins og áður var grunnstöðin á Skólavörðuholti notuð (OS-5451, sjá Gunnar Þorbergsson o.fl. 1990).

2. Mæliniðurstöður

Mælingar fóru fram 4. desember 1998. Tafla 1 sýnir frumgögn mælinganna. Í töflunni kemur fram mælistöð, mæld þyngd ($g_{mælt}$) í einingunni mgal ($1\text{mgal}=10^{-5}\text{m/s}^2$), en eins og áður er getið er mæld afstæð þyngd og þarf að tengja þessi gildi við viðmiðunarpunkt til að fá út raunverulegt þyngdargildi. Þessi mælda þyngd er í raun meðaltal margra gilda sem safnað er á einnar sekúndu fresti, og er fjöldinn ásamt staðalfráviki þeirra (σ) sýnd í töflunni. Einnig kemur fram í töflunni tími mælingar og hæð mælis yfir fastmerki.

Ef gert er ráð fyrir normaldreifingu mæligilda, má reikna staðalfrávik meðaltalsins (þ.e. mælt gildi, $g_{mælt}$) út frá staðalfráviki mæligilda í meðaltalinu (þ.e. σ) samkvæmt σ/\sqrt{N} , þar sem N er fjöldi mæligilda. Eins og fram kemur í töflu 1 er staðalfrávikið (σ) yfirleitt um 200 μgal , og þarf því fjöldi mælinga í hverju meðaltali að vera yfir 100, til þess að staðalfrávik meðaltalsins sé innan við 20 μgal . Var því mælitími hvers meðaltals ákveðin tvær mínútur ($N=120$). Þess má geta að í mælingunum frá því í haust (Hjálmar Eysteinsson 1998) var staðalfrávikið yfirleitt um eða innan við 100 μgal og þurfti því þá fjórfalt minni söfnunartíma til að fá sömu nákvæmni.

Við úrvinnslu mælinga er fyrst leiðrétt vegna hæðarmismunar mælisins og fastmerkisins samkvæmt $\Delta g_h = 0.0030855 \cdot h$, þar sem h er mæld hæð mælis frá fastmerki í cm og Δg_h í mgal. Síðan er leiðrétt fyrir áhrifum tungls og sólar (tidal leiðréttning, Δg_t). Leiðrétt mæligildi ($\bar{g}=g_{mælt} + \Delta g_h - \Delta g_t$) eru gefin í töflu 2 ásamt staðalfráviki þeirra, $\bar{\sigma} = \sigma/\sqrt{N}$, þar sem σ og N er stðalfrávik og fjöldi mæligilda sem liggur að baki hverju meðaltali (úr töflu 1).

Í hverjum mælipunkti eru mæld nokkur meðaltöl, gjarnan 5-10, og er meðaltal þeirra sýnt með feitletruðum línum í töflu 2 (\hat{g}) ásamt staðalfráviki þess meðaltals ($\hat{\sigma}$) og fjölda gilda í því meðal-

tali. Í töflunni hefur mæligildum sem ekki eru notuð í lokameðaltalinu (þ.e. \hat{g}) verið sleppt. Þetta eru oftast 2-3 fyrstu gildin, þ.e. mælingar áður en mælirinn hefur náð fullkomnu jafnvægi. Að lokum er leiðrétt fyrir línulegu reki í mælinum, og síðan reiknuð út þyngd (g) í sérhverju fastmerki út frá þekktri þyngd í grunnstöðavapunktinum á Skólavörðuholti. Niðurstöðurnar eru sýndar í töflu 3.

Mesta frávik þyngdargildis (\hat{g}) frá lokagildi (g) sérhvers mælipunktar, er $11\mu\text{gal}$, en staðalfrávik meðalgilda (þ.e. $\hat{\sigma}$) eru á bilinu $8-12\mu\text{gal}$. Því má áætla að óvissa í ákvörðun þyngdar hvers mælipunktar sé um eða innan við $20\mu\text{gal}$ (þ.e. óvissa í mælingu hvers punkts að viðbættri óvissu í mælingu á grunnstöð).

Tafla 3. Niðurstöður.		
Fastmerki	Þyngd, mgal	Athugasemdir
OS-7315	982181.607	Kýrdalur
AU216	982230.811	Grafningur
OS-HH19	982202.972	Kolviðarhóll
OS-HH04	982179.333	Hellisheiði
OS-7393	982179.035	Ölkelduháls
LM-0305	982227.073	Kambar
2591S	982245.308	Ölfusborgir
Vr-171	982251.083	Bjarnastaðir

3. Samanburður við eldir mælingar

Þegar þessar niðurstöður eru bornar saman við niðurstöður þyngdarmælinga frá því í haust (Hjálmar Eysteinsson 1998) kemur í ljós að mesti munur er $19\mu\text{gal}$ í punkti OS-HH04. Breytingarnar eru því í öllum tilvikum innan skekkjumarka. Mynd 2 sýnir allar mælingar í þessum fastmerkjum frá því 1990 (án leiðréttингar fyrir hæðarbreytingum). Á myndinni er meðalþyngd í hverri mælistöð sett í $100\mu\text{gal}$, svo að auðveldara sé að bera saman þyngdarbreytingar milli punkta. Þær breytingar sem sjást á myndinni eru innan við óvissumörk, nema e.t.v. mæling frá 1994 í fastmerki OS-7315 (sjá Hjálmar Eysteinsson 1998).

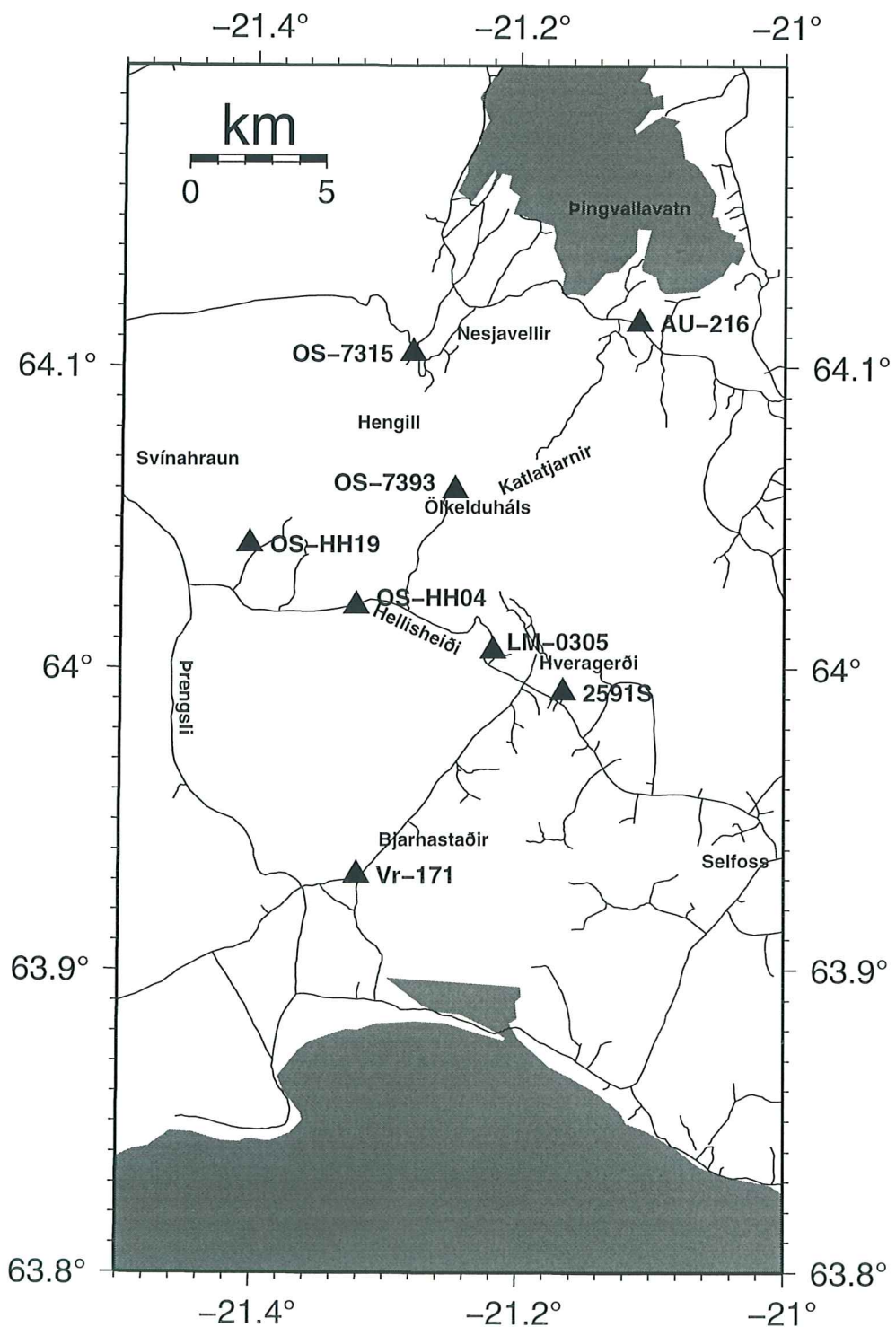
Heimildir

Gunnar Þorbergsson, Ingvar Þór Magnússon og Guðmundur Pálason, 1990. *Pyngdarmæligögn og þyngdarkort af Íslandi*. Orkustofnun, OS-90001/JHD-01, 50 s.

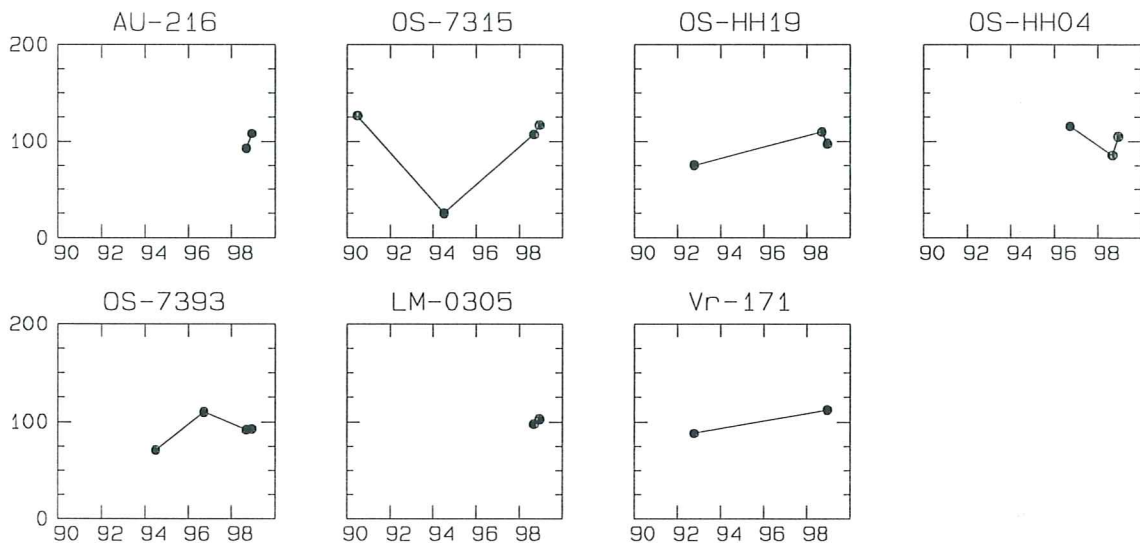
Gunnar Þorbergsson og Guðmundur H. Vigfússon, 1998. *Fallmælingar og GPS-mælingar á Hengilssvæði 1998*. Orkustofnun, OS-98060, 37 s.

Páll Bjarnason, 1998. *Mælingar á Hellisheiði*. Landsvirkjun og Verkfræðistofa Suðurlands. Stutt yfirlit, kynnt á fundi nefndar vegna landmælinga á Hellisheiði, 3.nóvember 1998 (<http://www.vedur.is/~thora/hengill/hengill.html>).

Hjálmar Eysteinsson, 1998. *Pyngdarmælingar á Nesjavöllum og Hengilssvæði*. Orkustofnun, OS-98067.



Mynd 1. Staðsetning fastmerkja (príhyrningar). Vegir eru sýndir með heilum línum.



Mynd2 Pyngd sem fall af tíma frá 1990, þar sem mælt hefur verið oftar en einu sinni. Kvarði lóðréttss áss er í μ gal, þar sem meðaltal þyngdar allra mæliára í hverju fastmerki er sett í 100 μ gal. Ekki hefur verið leiðrétt fyrir hæðarbreytingum.

Tafla 1, frumgögn

Stöð	g_{mach} (mgal)	σ	Fjöldi	Tími	Hæð (cm)	Stöð	g_{mach} (mgal)	σ	Fjöldi	Tími	Hæð (cm)
1998.12.04											
5451	6113.429	0.236	120	09:41:14	13.7	VR171	6105.781	0.177	120	17:09:53	12.4
5451	6113.454	0.201	120	09:42:26	13.7	VR171	6105.764	0.196	120	17:12:10	12.4
5451	6113.445	0.250	120	09:43:38	13.7	VR171	6105.772	0.226	120	17:14:27	12.4
5451	6113.450	0.247	120	09:44:50	13.7	VR171	6105.760	0.247	120	17:16:44	12.4
5451	6113.447	0.248	120	09:46:02	13.7	VR171	6105.765	0.208	120	17:19:01	12.4
5451	6113.453	0.182	120	09:47:14	13.7	2591	6099.999	0.201	120	17:21:18	12.4
5451	6113.458	0.158	120	09:48:26	13.7	2591	6099.992	0.216	120	17:38:37	11.0
5451	6113.452	0.267	120	09:50:11	13.7	2591	6099.995	0.184	120	17:40:54	11.0
5451	6113.448	0.204	120	09:57:46	13.7	2591	6099.993	0.189	120	17:43:11	11.0
5451	6113.442	0.225	120	10:00:03	13.7	2591	6100.009	0.231	120	17:45:28	11.0
5451	6113.447	0.278	120	10:03:08	13.7	2591	6099.987	0.201	120	17:47:45	11.0
5451	6113.444	0.096	120	10:05:25	13.7	2591	6099.985	0.238	120	17:50:02	11.0
5451	6113.451	0.214	120	10:06:00	13.7	LM305	6081.766	0.167	120	18:01:18	11.6
5451	6113.445	0.246	60	10:08:17	13.7	LM305	6081.759	0.175	120	18:04:21	11.6
5451	6113.435	0.267	60	10:10:37	13.7	LM305	6081.757	0.206	120	18:06:38	11.6
5451	6113.449	0.232	60	10:12:54	13.7	LM305	6081.750	0.204	120	18:08:55	11.6
5451	6113.448	0.224	60	10:15:11	13.7	LM305	6081.739	0.148	120	18:11:12	11.6
5451	6113.442	0.226	60	10:17:46	13.7	LM305	6081.748	0.154	120	18:13:32	11.6
7315	6036.279	0.227	60	11:14:27	12.8	LM305	6081.746	0.141	120	18:15:49	11.6
7315	6036.282	0.229	60	11:16:44	12.8	HH04	6034.015	0.237	120	18:32:23	14.5
7315	6036.266	0.245	120	11:19:01	12.8	HH04	6034.006	0.197	120	18:34:40	14.5
7315	6036.267	0.288	120	11:21:18	12.8	HH04	6034.004	0.167	120	18:36:57	14.5
7315	6036.268	0.283	120	11:23:35	12.8	HH04	6034.011	0.248	120	18:39:14	14.5
7315	6036.278	0.207	120	11:26:39	12.8	HH04	6034.000	0.174	120	18:41:31	14.5
7315	6036.277	0.267	13	11:28:56	12.8	HH04	6033.995	0.213	120	18:43:48	14.5
7315	6036.276	0.272	120	11:31:13	12.8	HH19	6057.657	0.217	120	19:00:53	12.3
7315	6036.277	0.238	120	11:33:30	12.8	HH19	6057.655	0.213	120	19:03:10	12.3
7315	6036.254	0.247	120	11:35:47	12.8	HH19	6057.640	0.251	120	19:05:27	12.3
7315	6036.270	0.182	120	11:38:07	12.8	HH19	6057.639	0.191	120	19:07:44	12.3
AU216	6085.513	0.225	120	12:04:23	11.7	HH19	6057.641	0.226	120	19:10:01	12.3
AU216	6085.488	0.265	120	12:06:40	11.7	5451	6113.466	0.202	120	19:48:02	12.8
AU216	6085.486	0.203	120	12:08:57	11.7	5451	6113.463	0.173	120	19:50:19	12.8
AU216	6085.482	0.202	120	12:11:14	11.7	5451	6113.450	0.200	120	19:52:36	12.8
AU216	6085.472	0.224	120	12:13:31	11.7	5451	6113.448	0.215	120	19:55:29	12.8
AU216	6085.473	0.202	120	12:15:48	11.7	5451	6113.441	0.137	120	19:57:46	12.8
AU216	6085.485	0.245	120	12:18:05	11.7	5451	6113.440	0.244	120	20:00:03	12.8
7315	6036.281	0.198	120	12:41:15	12.8	5451	6113.429	0.231	120	20:02:20	12.8
7315	6036.292	0.267	120	12:43:32	12.8	5451	6113.444	0.221	120	20:05:17	12.8
7315	6036.283	0.193	120	12:45:49	12.8	5451	6113.444	0.273	120	20:07:34	12.8
7315	6036.263	0.246	120	12:48:06	12.8						
7315	6036.275	0.186	120	12:50:23	12.8						
7315	6036.285	0.308	120	12:52:40	12.8						
5451	6113.476	0.200	120	13:39:50	13.1						
5451	6113.475	0.171	120	13:42:07	13.1						
5451	6113.468	0.180	120	13:44:24	13.1						
5451	6113.459	0.238	120	13:47:31	13.1						
5451	6113.460	0.215	120	13:49:48	13.1						
5451	6113.454	0.175	120	13:52:05	13.1						
HH19	6057.681	0.227	120	14:46:55	12.5						
HH19	6057.668	0.178	120	14:49:12	12.5						
HH19	6057.654	0.141	120	14:51:29	12.3						
HH19	6057.644	0.198	120	14:53:46	12.3						
HH19	6057.645	0.220	120	14:56:03	12.3						
HH19	6057.649	0.140	120	14:58:20	12.3						
HH04	6034.015	0.216	120	15:12:28	13.2						
HH04	6034.011	0.189	120	15:14:45	13.2						
HH04	6034.011	0.262	120	15:17:02	13.2						
HH04	6034.001	0.199	120	15:19:19	13.2						
HH04	6034.001	0.211	120	15:21:36	13.2						
7393	6033.730	0.215	120	15:39:22	12.6						
7393	6033.727	0.206	120	15:41:41	12.6						
7393	6033.714	0.211	120	15:43:58	12.6						
7393	6033.713	0.299	120	15:46:15	12.6						
7393	6033.703	0.260	120	15:48:32	12.6						
7393	6033.710	0.237	120	15:50:49	12.6						
LM305	6081.780	0.226	120	16:11:13	11.6						
LM305	6081.766	0.190	120	16:13:30	11.6						
LM305	6081.767	0.137	120	16:15:47	11.6						
LM305	6081.778	0.192	120	16:18:04	11.6						
LM305	6081.760	0.207	120	16:20:21	11.6						
2591	6100.005	0.233	120	16:41:48	10.8						
2591	6100.007	0.178	120	16:44:05	10.8						
2591	6099.992	0.163	120	16:46:22	10.8						
2591	6100.007	0.193	120	16:48:39	10.8						
2591	6099.986	0.172	120	16:50:56	10.8						
2591	6099.993	0.204	120	16:53:13	10.8						

Tafla 2, leiðrétt mæligögn

Stöð	ref	Tími	\bar{g} (mgal)	$\bar{\sigma}$	N	Stöð	ref	Tími	\bar{g} (mgal)	$\bar{\sigma}$	N
<i>1998.12.04</i>											
5451	*	0942	6113.449	0.026	60	VR171		1712	6105.747	0.018	120
5451	*	0944	6113.439	0.032	60	VR171		1714	6105.757	0.021	120
5451	*	0945	6113.445	0.032	60	VR171		1717	6105.755	0.023	120
5451	*	0946	6113.441	0.032	60	VR171		1721	6105.748	0.019	120
5451	*	0947	6113.448	0.023	60	VR171	1716	6105.750	0.009	5	
5451	*	0950	6113.447	0.024	120	2591		1739	6099.971	0.020	120
5451	*	0958	6113.443	0.019	120	2591		1741	6099.974	0.017	120
5451	*	1000	6113.437	0.021	120	2591		1745	6099.988	0.021	120
5451	*	1003	6113.442	0.025	120	2591		1748	6099.966	0.018	120
5451	*	1005	6113.439	0.027	13	2591		1750	6099.964	0.022	120
5451	*	1006	6113.446	0.020	120	2591	1744	6099.972	0.008	6	
5451	*	1008	6113.440	0.022	120	305		1809	6081.732	0.019	120
5451	*	1013	6113.445	0.021	120	305		1814	6081.730	0.014	120
5451	*	1015	6113.444	0.020	120	305		1816	6081.729	0.013	120
5451	*	1018	6113.438	0.021	120	305	1813	6081.730	0.009	3	
5451	*	0958	6113.443	0.006	15	HH04		1835	6034.000	0.018	120
7315		1119	6036.263	0.022	120	HH04		1837	6033.998	0.015	120
7315		1121	6036.265	0.026	120	HH04		1839	6034.005	0.023	120
7315		1124	6036.266	0.026	120	HH04		1842	6033.995	0.016	120
7315		1127	6036.276	0.019	120	HH04		1844	6033.990	0.019	120
7315		1129	6036.275	0.024	120	HH04	1839	6033.998	0.008	5	
7315		1131	6036.274	0.025	120	HH19		1905	6057.632	0.023	120
7315		1133	6036.275	0.022	120	HH19		1908	6057.631	0.017	120
7315		1138	6036.269	0.017	120	HH19		1910	6057.634	0.021	120
7315	1127	6036.270	0.008	8	HH19	1907	6057.632	0.012	3		
AU216		1207	6085.486	0.024	120	5451	*	1953	6113.455	0.018	120
AU216		1209	6085.484	0.019	120	5451	*	1955	6113.454	0.020	120
AU216		1211	6085.480	0.018	120	5451	*	1958	6113.448	0.013	120
AU216		1214	6085.470	0.020	120	5451	*	2000	6113.448	0.022	120
AU216		1216	6085.471	0.018	120	5451	*	2005	6113.454	0.020	120
AU216		1218	6085.483	0.022	120	5451	*	2008	6113.455	0.025	120
AU216	1212	6085.479	0.008	6	5451	*	1959	6113.452	0.008	6	
7315		1246	6036.286	0.018	120						
7315		1248	6036.266	0.022	120						
7315		1250	6036.278	0.017	120						
7315		1253	6036.288	0.028	120						
7315	1249	6036.280	0.011	4							
5451	*	1348	6113.463	0.022	120						
5451	*	1350	6113.464	0.020	120						
5451	*	1352	6113.458	0.016	120						
5451	*	1350	6113.462	0.011	3						
HH19		1451	6057.652	0.013	120						
HH19		1454	6057.642	0.018	120						
HH19		1456	6057.643	0.020	120						
HH19		1458	6057.646	0.013	120						
HH19	1454	6057.646	0.008	4							
HH04		1515	6034.008	0.017	120						
HH04		1517	6034.008	0.024	120						
HH04		1519	6033.998	0.018	120						
HH04		1522	6033.998	0.019	120						
HH04	1518	6034.003	0.010	4							
7393		1544	6033.707	0.019	120						
7393		1546	6033.705	0.027	120						
7393		1549	6033.695	0.024	120						
7393		1551	6033.702	0.022	120						
7393	1547	6033.702	0.012	4							
305		1613	6081.752	0.017	120						
305		1616	6081.753	0.013	120						
305		1620	6081.745	0.019	120						
305	1616	6081.750	0.010	3							
2591		1642	6099.985	0.021	120						
2591		1644	6099.987	0.016	120						
2591		1646	6099.972	0.015	120						
2591		1649	6099.987	0.018	120						
2591		1651	6099.965	0.016	120						
2591		1653	6099.972	0.019	120						
2591		1647	6099.978	0.007	6						